

Géométrie Algorithmique

Données, Modèles, Programmes

2. La puissance de l'aléa : algorithmes randomisés

Jean-Daniel Boissonnat

Collège de France

19 avril 2017

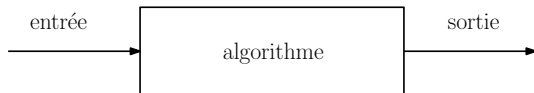
Géométrie algorithmique

Données, modèles, programmes

- 1 Modèles géométriques discrets
F. Cazals : Modèles géométriques pour la prédiction des interactions macro-moléculaires
- 2 La puissance de l'aléa : algorithmes randomisés
P. Calka : Probabilités géométriques
- 3 Le calcul géométrique
S. Pion : La bibliothèque logicielle CGAL
- 4 Génération de maillages
J-M. Mirebeau : Les deux réductions de Voronoï et leur application aux équations aux dérivées partielles
- 5 Courbes et surfaces
P. Alliez : Reconstruction de surfaces
- 6 Espaces de configurations
A. de Mesmay : Dessin de graphes
- 7 Structures de données géométriques
D. Feldman : Core sets
- 8 Géométrie des données
F. Chazal : Analyse topologique des données

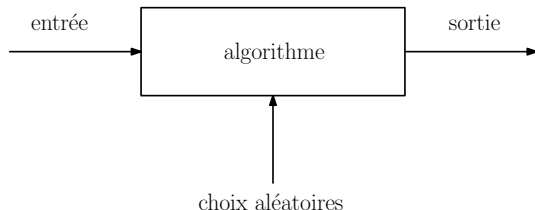
Probabilités et géométrie algorithmique

Distribution de l'entrée et choix aléatoires



Probabilités et géométrie algorithmique

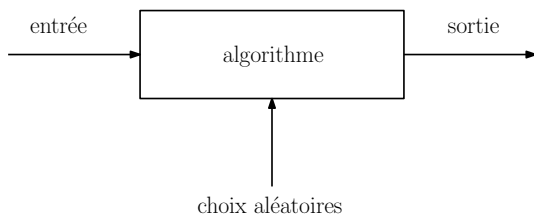
Distribution de l'entrée et choix aléatoires



- Modélisation de l'entrée et complexité combinatoire
- Introduction de choix aléatoires pour améliorer la complexité algorithmique

Probabilités et géométrie algorithmique

Algorithmes randomisés

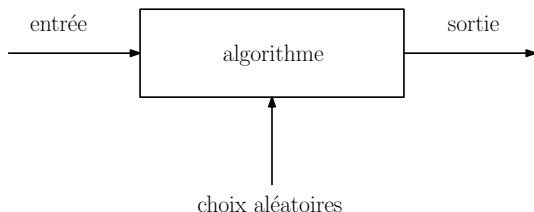


Un algorithme randomisé effectue des choix aléatoires

- ordre d'insertion des données d'entrée
- échantillonnage aléatoire
- transformation aléatoire des données (perturbation, projection)

Probabilités et géométrie algorithmique

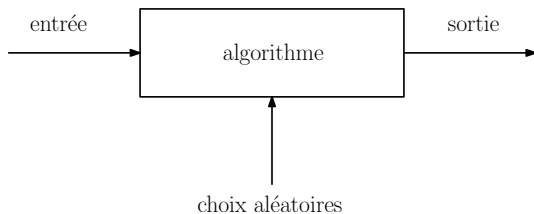
Analyse randomisée



- L'analyse est faite pour l'entrée la pire et en moyenne sur les choix aléatoires
- La sortie peut être toujours exacte (algorithme Las Vegas) ou seulement exacte en probabilité (algorithme Monte Carlo)

Algorithmes randomisés

Motivation



- Simplicité
- Universalité
- Efficacité (théorique et pratique)
- Analyse utile aussi en géométrie combinatoire

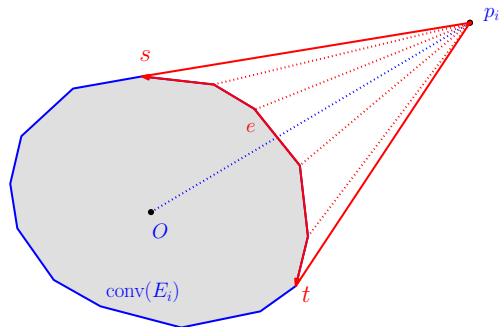
1 Algorithmes incrémentaux randomisés

2 Algorithmes en-ligne

3 Analyse combinatoire

Calcul d'une enveloppe convexe

Retour sur l'algorithme incrémental



Analyse dans le cas le pire :

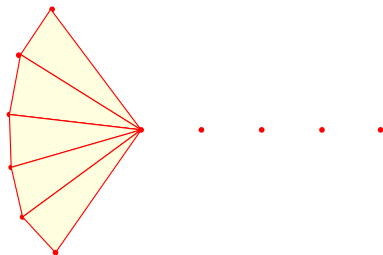
- $d = 3$: $O(n^2)$
- d quelconque : $O(n \log n + n^{\lfloor \frac{d+1}{2} \rfloor})$

(optimal en dimensions paires)

Calcul d'une enveloppe convexe

Retour sur l'algorithme incrémental

- $d = 3$: aucun algorithme incrémental ne peut faire mieux que $O(n^2)$ dans le cas le pire

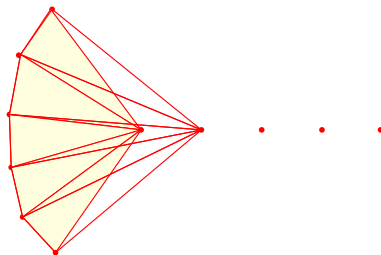


- $d = 3$: la complexité dépend de l'ordre d'insertion

Calcul d'une enveloppe convexe

Retour sur l'algorithme incrémental

- $d = 3$: aucun algorithme incrémental ne peut faire mieux que $O(n^2)$ dans le cas le pire

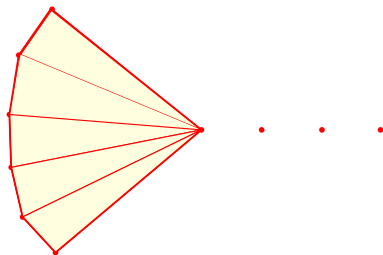


- $d = 3$: la complexité dépend de l'ordre d'insertion

Calcul d'une enveloppe convexe

Retour sur l'algorithme incrémental

- $d = 3$: aucun algorithme incrémental ne peut faire mieux que $O(n^2)$ dans le cas le pire

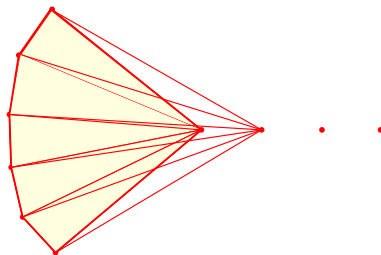


- $d = 3$: la complexité dépend de l'ordre d'insertion

Calcul d'une enveloppe convexe

Retour sur l'algorithme incrémental

- $d = 3$: aucun algorithme incrémental ne peut faire mieux que $O(n^2)$ dans le cas le pire

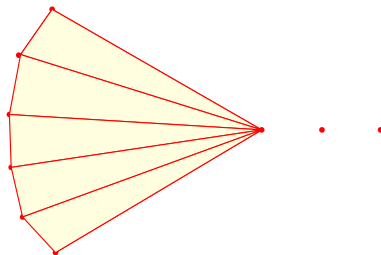


- $d = 3$: la complexité dépend de l'ordre d'insertion

Calcul d'une enveloppe convexe

Retour sur l'algorithme incrémental

- $d = 3$: aucun algorithme incrémental ne peut faire mieux que $O(n^2)$ dans le cas le pire

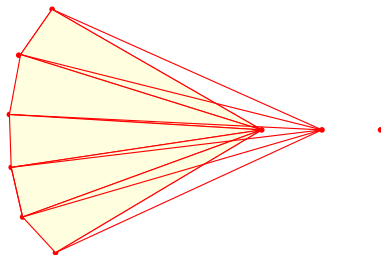


- $d = 3$: la complexité dépend de l'ordre d'insertion

Calcul d'une enveloppe convexe

Retour sur l'algorithme incrémental

- $d = 3$: aucun algorithme incrémental ne peut faire mieux que $O(n^2)$ dans le cas le pire

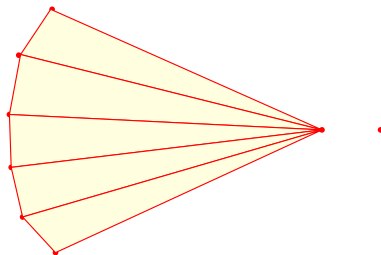


- $d = 3$: la complexité dépend de l'ordre d'insertion

Calcul d'une enveloppe convexe

Retour sur l'algorithme incrémental

- $d = 3$: aucun algorithme incrémental ne peut faire mieux que $O(n^2)$ dans le cas le pire

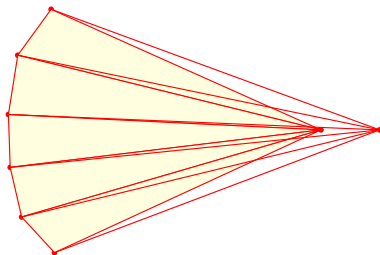


- $d = 3$: la complexité dépend de l'ordre d'insertion

Calcul d'une enveloppe convexe

Retour sur l'algorithme incrémental

- $d = 3$: aucun algorithme incrémental ne peut faire mieux que $O(n^2)$ dans le cas le pire

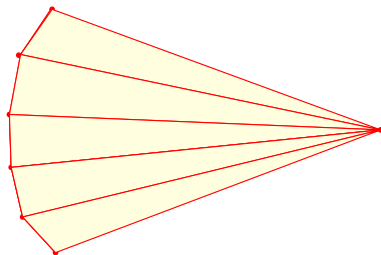


- $d = 3$: la complexité dépend de l'ordre d'insertion

Calcul d'une enveloppe convexe

Retour sur l'algorithme incrémental

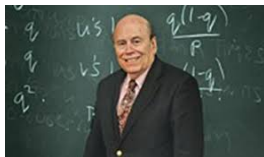
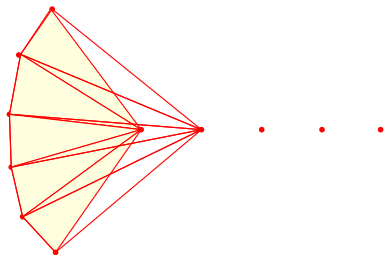
- $d = 3$: aucun algorithme incrémental ne peut faire mieux que $O(n^2)$ dans le cas le pire



- $d = 3$: la complexité dépend de l'ordre d'insertion

La révolution des algorithmes randomisés

Calcul incrémental d'une enveloppe convexe de n



M. Rabin, K. Clarkson and P. Shor

- l'algorithme randomisé a une **complexité moyenne optimale**

$$O(n \log n + n \lfloor \frac{d}{2} \rfloor)$$

- triangulation de Delaunay 3d : 1 million de points en 8.5s

Analyse randomisée 1

Mises à jour de l'enveloppe convexe et place mémoire

Hyp. : les points de \mathcal{P} sont insérés dans un ordre **aléatoire**

$\mathcal{P}_i = \{p_1, \dots, p_i\}$ est un **échantillon aléatoire** de taille i

$N(i)$: espérance du nombre de facettes créées à l'étape i

$$\begin{aligned} N(i) &= \sum_{f \subset \mathcal{P}, |f|=d} \text{proba}(f \in \text{conv}(\mathcal{P}_i)) \times \frac{d}{i} \\ &= \frac{d}{i} \mathbf{E}(|\text{conv}(i, \mathcal{P})|) \quad (\text{espérance sur tous les échantillons aléatoires de } \mathcal{P} \text{ de taille } i) \\ &= O\left(i^{\lfloor \frac{d}{2} \rfloor - 1}\right) \quad (\text{th. de la borne sup.}) \end{aligned}$$

Espérance du nombre total de facettes créées

$$N = \sum_{i=1}^n N(i) = O\left(n^{\lfloor \frac{d}{2} \rfloor}\right) \quad \text{and} \quad N = O(n) \quad \text{if } d = 2, 3$$

Analyse randomisée 1

Mises à jour de l'enveloppe convexe et place mémoire

Hyp. : les points de \mathcal{P} sont insérés dans un ordre **aléatoire**

$\mathcal{P}_i = \{p_1, \dots, p_i\}$ est un **échantillon aléatoire** de taille i

$N(i)$: espérance du nombre de facettes créées à l'étape i

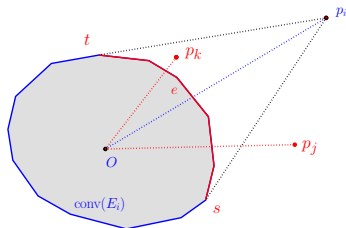
$$\begin{aligned} N(i) &= \sum_{f \subset \mathcal{P}, |f|=d} \text{proba}(f \in \text{conv}(\mathcal{P}_i)) \times \frac{d}{i} \\ &= \frac{d}{i} \mathbf{E}(|\text{conv}(i, \mathcal{P})|) \quad (\text{espérance sur tous les échantillons aléatoires de } \mathcal{P} \text{ de taille } i) \\ &= O\left(i^{\lfloor \frac{d}{2} \rfloor - 1}\right) \quad (\text{th. de la borne sup.}) \end{aligned}$$

Espérance du nombre total de facettes créées

$$N = \sum_{i=1}^n N(i) = O\left(n^{\lfloor \frac{d}{2} \rfloor}\right) \quad \text{and} \quad N = O(n) \quad \text{if } d = 2, 3$$

L'algorithme incrémental (un peu) révisé

- Localisation rapide
- Recherche des facettes rouges
- Création des nouvelles facettes



Conflit : $p \in \mathcal{P} \setminus \mathcal{P}_{i-1}$, $f \in \text{conv}(\mathcal{P}_{i-1})$, $p \dagger f \Leftrightarrow [Op] \cap \text{aff}(f) \neq \emptyset$

Graphe de conflit : $\text{CG}_{i-1} = \{(p, f), p \in \mathcal{P} \setminus \mathcal{P}_{i-1} \times f \in \text{conv}(\mathcal{P}_{i-1}) \mid p \dagger f\}$

Analyse randomisée 2

Mise à jour du graphe de conflit

$\mathcal{P}_i^+ = \mathcal{P}_i \cup \{p_j\}$: un sous-ensemble aléatoire de $i + 1$ points de \mathcal{P}

$\text{conv}_1(\mathcal{P}_i^+) = \{f \in \mathcal{P}_i^+, |f| = d, \exists \text{ unique } q \in \mathcal{P}_i^+ : f \dagger q\}$

$N(i, j)$ = espérance du nombre de faces de $\text{conv}_1(\mathcal{P}_i^+)$ créées à l'étape i et en conflit avec $p_j, j > i$

$$\begin{aligned} N(i, j) &= \sum_{f \in \mathcal{P}, |f|=d} \text{proba}(f \in \text{conv}_1(\mathcal{P}_i^+)) \times \frac{d}{i} \times \frac{1}{i+1} \\ &= \frac{d}{i(i+1)} \mathbf{E}(|\text{conv}_1(i+1, \mathcal{P})|) \end{aligned}$$

espérance sur tous les échantillons aléatoires de \mathcal{P} de taille $i + 1$

Borne sur $E(|\text{conv}_1(r, \mathcal{P})|)$

Analyse arrière

$$R' = R \setminus \{p\}$$

$$\begin{aligned} f \in \text{conv}(R') & \text{ si } f \in \text{conv}_1(R) \text{ et } p \nmid f & (\text{proba} = \frac{1}{r}) \\ & \text{ ou } f \in \text{conv}(R) \text{ et } R' \ni \text{ les } d \text{ sommets de } f & (\text{proba} = \frac{r-d}{r}) \end{aligned}$$

En notant C_0 pour conv et prenant l'espérance

$$E(|C_0(r-1, R)|) = \frac{1}{r} |C_1(R)| + \frac{r-d}{r} |C_0(R)|$$

$$E(|C_0(r-1, \mathcal{P})|) = \frac{1}{r} E(|C_1(r, \mathcal{P})|) + \frac{r-d}{r} E(|C_0(r, \mathcal{P})|)$$

$$\begin{aligned} E(|C_1(r, \mathcal{P})|) &= d E(|C_0(r, \mathcal{P})|) - r (E(|C_0(r, \mathcal{P})|) - E(|C_0(r-1, \mathcal{P})|)) \\ &\leq d E(|C_0(r, \mathcal{P})|) \end{aligned}$$

Fin de l'analyse randomisée

Mise à jour du graphe de conflit

$N(i, j)$ = espérance du nombre de faces de $\text{conv}_1(\mathcal{P}_i^+)$ créées à l'étape i et en conflit avec $p_j, j > i$

$$\begin{aligned} N(i, j) &= \frac{d}{i(i+1)} \mathbf{E}(|C_1(i+1, \mathcal{P})|) \\ &\leq \frac{d^2}{i(i+1)} \mathbf{E}(|C_0(i+1, \mathcal{P})|) = O(i^{\lfloor \frac{d}{2} \rfloor - 2}) \end{aligned}$$

Espérance du coût total de mise à jour du graphe de conflit :

$$\begin{aligned} \sum_{i=1}^n \sum_{j=i+1}^n N(i, j) &= \sum_{i=1}^n (n-i) O(i^{\lfloor \frac{d}{2} \rfloor - 2}) \\ &= O(n \log n + n^{\lfloor \frac{d}{2} \rfloor}) \end{aligned}$$

Résultat principal et corollaires

- L'enveloppe convexe de n points de \mathbb{R}^d peut être calculée en temps optimal $O(n \log n + n^{\lfloor \frac{d}{2} \rfloor})$ en utilisant un espace mémoire $O(n^{\lfloor \frac{d}{2} \rfloor})$
- Les mêmes bornes s'appliquent au calcul de l'intersection de n demi-espaces de \mathbb{R}^d
- et au calcul des diagrammes Voronoï et triangulations de Delaunay de n points de \mathbb{R}^d (remplacer d par $d + 1$ dans les bornes)
- L'algorithme est simple et efficace en pratique
- Il peut être dérandomisé (au prix de la simplicité)

[Chazelle 1992]

Constructions incrémentales randomisées

Le cadre général de Clarkson & Shor

\mathcal{O} : un ensemble de n objets de complexité constante

Configuration f : définie par $O(1)$ objets

$\mathcal{F}(\mathcal{O}) = \{ \text{configurations définies sur } \mathcal{O} \}$

Conflit dans \mathcal{O} : $o \in \mathcal{O}, f \in \mathcal{F}(\mathcal{O}) : p \dagger f$

Problème : calculer $\mathcal{F}_0(\mathcal{O}) = \{ \text{configurations de } \mathcal{F}(\mathcal{O}) \text{ sans conflit dans } \mathcal{O} \}$

Algorithme statique

\mathcal{O}_i : ensemble des i premiers objets

GC_i : **graphe de conflit** qui représente les conflits entre les objets de $\mathcal{O} \setminus \mathcal{O}_i$ et les configurations de $\mathcal{F}_0(\mathcal{O}_i)$

Algorithme

Pour $i = 1, \dots, n$, insérer l'objet O_i

1. Accéder aux config. de $\mathcal{F}_0(\mathcal{O}_{i-1})$ en conflit avec O_i en utilisant GC_{i-1}
2. Construire les config. de $\mathcal{F}_0(\mathcal{O}_i)$
 - 1 Supprimer les config. en conflit
 - 2 Construire les nouvelles config. définies avec O_i
3. Construire GC_i : établir des liens entre les nouvelles config. et les objets restant à insérer

Conditions d'actualisation

1. on peut décider si O_i et C sont en conflit en temps $O(1)$
2. si O_i est en conflit avec j config., les nouvelles config. de $\mathcal{F}_0(O_i)$ peuvent être calculées en temps $O(j)$
3. si j' est le nb de conflits entre les nouvelles config. et O_i , les nouveaux conflits peuvent être calculés en temps $O(j + j')$

Théorème

Si les objets sont insérés dans un ordre aléatoire, le coût de l'algorithme est

Place mémoire : $P = O\left(\sum_{i=1}^n \frac{1}{i} E(|\mathcal{F}_0(\mathcal{O}_i)|)\right)$

Mise à jour du GC : $T = O\left(\sum_{i=1}^n \frac{n-i}{i^2} E(|\mathcal{F}_0(\mathcal{O}_i)|)\right)$

→ si $E(|\mathcal{F}_0(\mathcal{O}_i)|) = O(i)$: $P = O(n)$ $T = O(\log n)$

→ si $E(|\mathcal{F}_0(\mathcal{O}_i)|) = O(i^\alpha)$ $P = O(n^\alpha)$ $T = O(n^\alpha)$
 $\alpha > 1$

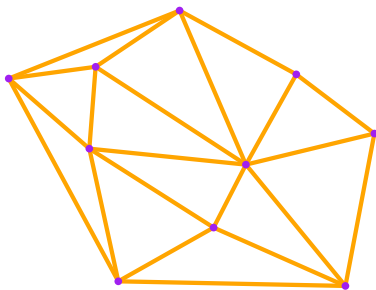
1 Algorithmes incrémentaux randomisés

2 Algorithmes en-ligne

3 Analyse combinatoire

Algorithme en-ligne : arbre de Delaunay

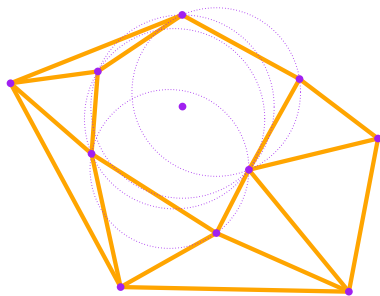
Utiliser l'historique de la construction comme une structure de localisation



- $B(\text{fils}) \subset B(\text{père}) \cup B(\text{beau-père})$
- Les simplexes à enlever sont des feuilles de l'arbre de Delaunay

Algorithme en-ligne : arbre de Delaunay

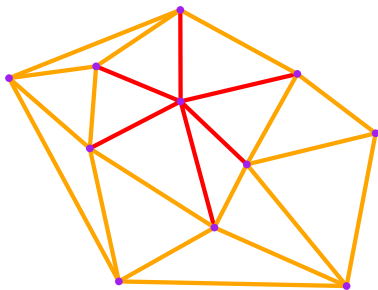
Utiliser l'historique de la construction comme une structure de localisation



- $B(\text{fils}) \subset B(\text{père}) \cup B(\text{beau-père})$
- Les simplexes à enlever sont des feuilles de l'arbre de Delaunay

Algorithme en-ligne : arbre de Delaunay

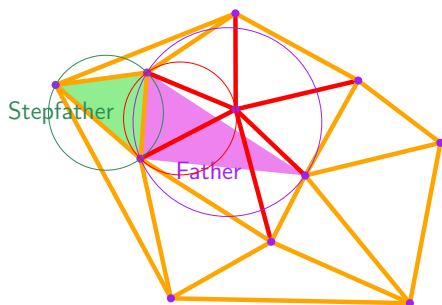
Utiliser l'historique de la construction comme une structure de localisation



- $B(\text{fils}) \subset B(\text{père}) \cup B(\text{beau-père})$
- Les simplexes à enlever sont des feuilles de l'arbre de Delaunay

Algorithme en-ligne : arbre de Delaunay

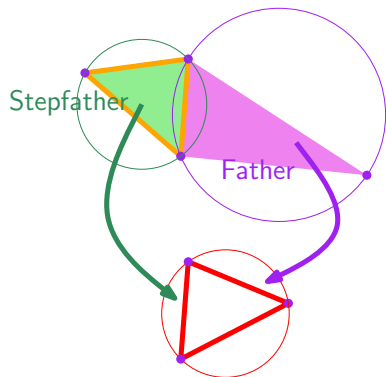
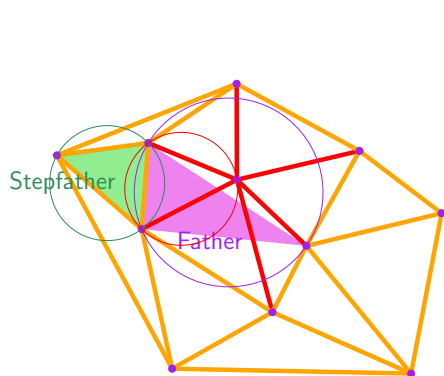
Utiliser l'historique de la construction comme une structure de localisation



- $B(\text{fils}) \subset B(\text{père}) \cup B(\text{beau-père})$
- Les simplexes à enlever sont des feuilles de l'arbre de Delaunay

Algorithme en-ligne : arbre de Delaunay

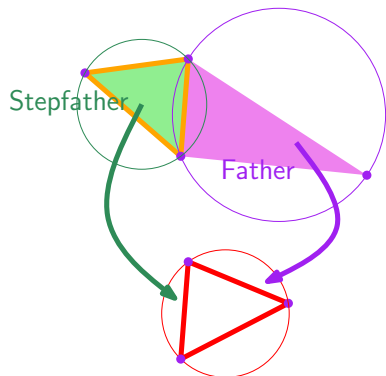
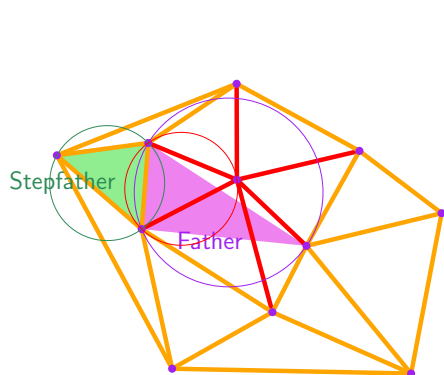
Utiliser l'historique de la construction comme une structure de localisation



- $B(\text{fils}) \subset B(\text{père}) \cup B(\text{beau-père})$
- Les simplexes à enlever sont des feuilles de l'arbre de Delaunay

Algorithme en-ligne : arbre de Delaunay

Utiliser l'historique de la construction comme une structure de localisation

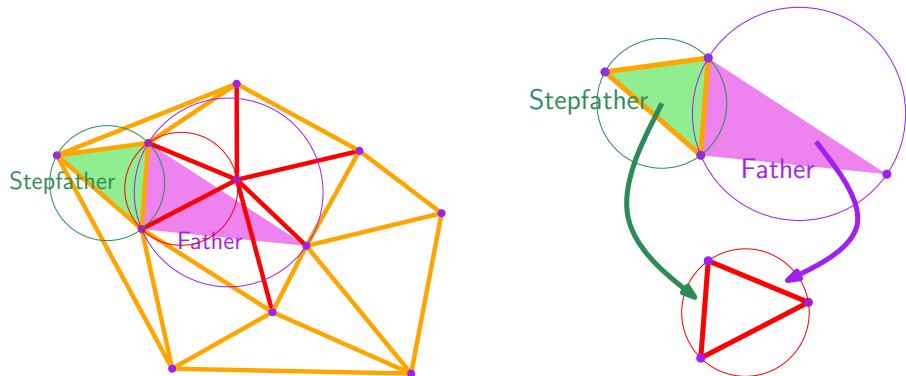


● $B(\text{fils}) \subset B(\text{père}) \cup B(\text{beau-père})$

● Les simplexes à enlever sont des feuilles de l'arbre de Delaunay

Algorithme en-ligne : arbre de Delaunay

Utiliser l'historique de la construction comme une structure de localisation



- $B(\text{fils}) \subset B(\text{père}) \cup B(\text{beau-père})$
- Les simplexes à enlever sont des feuilles de l'arbre de Delaunay

Algorithmes en ligne

GH_i : GDA d'histoire qui satisfait

P1 : les configurations de $\mathcal{F}_0(\mathcal{O}_i)$ sont des feuilles de GH_i

P2 : si un objet O est en conflit avec la config. attachée au nœud ν , il est en conflit avec un des parents de ν

Algorithme

Pour $i = 1, \dots, n$, insérer l'objet O_i

- 1 Chercher les config. de $\mathcal{F}_0(\mathcal{O}_{i-1})$ en conflit avec O_i en parcourant GH_{i-1}
- 2 Construire GH_i de telle façon que P1 et P2 restent vraies
 - 1 Créer les nouvelles feuilles de GH_i (nouvelles config.)
 - 2 Etablir les liens entre les feuilles de GH_{i-1} en conflit et les nouvelles feuilles de GH_i

Conditions d'actualisation

- On peut décider si O_i et une config. sont en conflit en temps $O(1)$
- Si O_i est en conflit avec j config., les nouvelles config. sans conflit sont calculables en temps $O(j)$
- Le nombre de fils d'un nœud = $O(1)$ (cette condition peut être supprimée)

Analyse de l'algorithme en-ligne

\mathcal{O}_i : échantillon aléatoire de i objets de \mathcal{O}

Place mémoire : $P = O\left(\sum_{i=1}^n \frac{1}{i} E(|\mathcal{F}_0(\mathcal{O}_i)|)\right)$

Temps d'insertion : $T = O\left(\sum_{i=1}^n \frac{1}{i^2} E(|\mathcal{F}_0(\mathcal{O}_i)|)\right)$

→ si $E(|\mathcal{F}_0(\mathcal{O}_i)|) = O(i)$: $P = O(n)$ $T = O(\log n)$

→ si $E(|\mathcal{F}_0(\mathcal{O}_i)|) = O(i^\alpha)$ $P = O(n^\alpha)$ $T = O(n^{\alpha-1})$
 $\alpha > 1$

Analyse de l'algorithme en-ligne

\mathcal{O}_i : échantillon aléatoire de i objets de \mathcal{O}

Place mémoire : $P = O\left(\sum_{i=1}^n \frac{1}{i} E(|\mathcal{F}_0(\mathcal{O}_i)|)\right)$

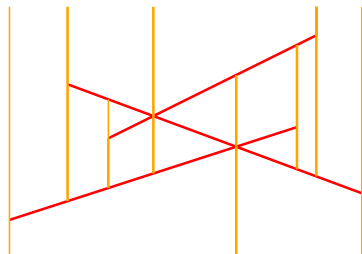
Temps d'insertion : $T = O\left(\sum_{i=1}^n \frac{1}{i^2} E(|\mathcal{F}_0(\mathcal{O}_i)|)\right)$

→ si $E(|\mathcal{F}_0(\mathcal{O}_i)|) = O(i)$: $P = O(n)$ $T = O(\log n)$

→ si $E(|\mathcal{F}_0(\mathcal{O}_i)|) = O(i^\alpha)$ $P = O(n^\alpha)$ $T = O(n^{\alpha-1})$
 $\alpha > 1$

Cloisonnement vertical

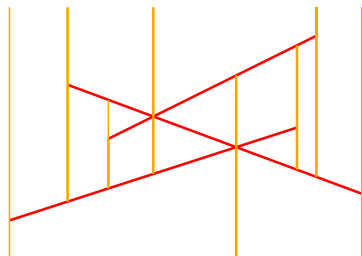
Objets, configurations et conflits



- Un ensemble \mathcal{O} de n segments se coupant en k points
- Une configuration est une des régions (demi-plan, triangle ou trapèze)
- Une configuration T et un segment s sont en conflit si $T \cap s \neq \emptyset$

Cloisonnement vertical

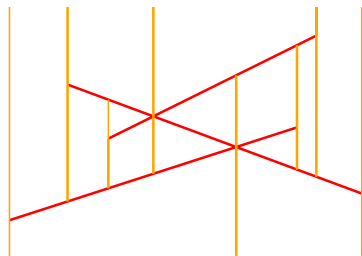
Conditions d'actualisation



- Une configuration est définie par au plus 4 segments
- T est découpé en ≤ 4 nouvelles configurations quand un nouveau segment est inséré
- $\mathcal{F}_0(i, \mathcal{O}) = O(i + k \frac{i^2}{n^2})$

Cloisonnement vertical

Conditions d'actualisation



Théorème

Si on insère les segments dans un ordre aléatoire, on peut

- construire le cloisonnement en temps **optimal** $O(n \log n + k)$
- se localiser dans une carte planaire en temps $O(\log n)$

Localisation dans une carte planaire

Analyse

Les segments \mathcal{S} de la carte sont insérés dans un ordre **aléatoire**

Localisation d'un point x quelconque : trouver la cellule du cloisonnement de \mathcal{S} qui contient x

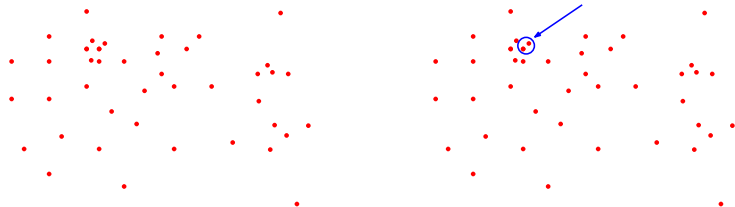
$Q(x)$ = coût de recherche = nb de nœuds du GH en conflit avec x

n_i désigne le nœud associé à la cellule qui contient x à l'étape i

$$\begin{aligned} E(Q(x)) &= \sum_{i=1}^n \text{proba}(n_i \text{ a été créé à l'étape } i) \\ &= \sum_{i=1}^n \frac{4}{i} \\ &= O(\log n) \end{aligned}$$

Recherche des deux plus proches voisins

Problème : Quels sont, parmi n points du plan, les deux points les plus proches ? Peut-on éviter de tester toutes les paires de points ?



Recherche des deux plus proches voisins

Grille et algorithme incrémental

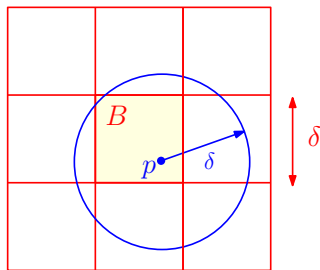
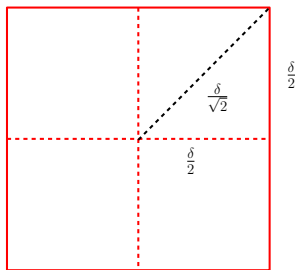
\mathcal{P}_i = ensemble des i premiers points

Chaque point de \mathcal{P}_i est stocké dans la cellule qui le contient

- 1 entrée : p_1, \dots, p_n
- 2 $\delta := +\infty$, $G :=$ boîte englobante de \mathcal{P}
- 3 Pour $i = 2, \dots, n$, insérer p_i dans G et trouver son plus proche voisin v_i dans \mathcal{P}_i
 - 1 si $\|p_i - v_i\| < \delta$, $ppp := (p_i, v_i)$
 - 1 $\delta := \|p_i - v_i\|$
 - 2 construire une nouvelle grille G de côté δ
 - 3 localiser les points p_1, \dots, p_i dans G
- 4 finpour
- 5 retourner ppp

Analyse de l'algorithme 1/2

Deux lemmes élémentaires



Lemme 1

Si \mathcal{P} est contenu dans un carré de côté $\delta(\mathcal{P})$, alors $|\mathcal{P}| \leq 4$

Lemme 2

Si $ppp = (p, v)$ et $p \in B$, alors $q \in B$ ou dans une des 8 cellules incidentes à B

Analyse de l'algorithme 2/2

Théorème

On peut calculer les deux plus proches voisins en temps moyen $O(n)$

Démonstration $X_i = 1$ si $\delta(\mathcal{P}_i) \neq \delta(\mathcal{P}_{i-1})$, $X_i = 0$ sinon

$$\begin{aligned}T(n) &= 1 + \sum_{i=3}^n (1 + X_i \times i) \\E(T(n)) &= E\left(1 + \sum_{i=3}^n (1 + X_i \times i)\right) \\&\leq n + \sum_{i=2}^n E(X_i) \times i \\&\leq n + \sum_{i=2}^n \text{proba}(X_i = 1) \times i \\&\leq n + \sum_{i=2}^n \frac{2}{i} \times i \\&\leq 3n\end{aligned}$$

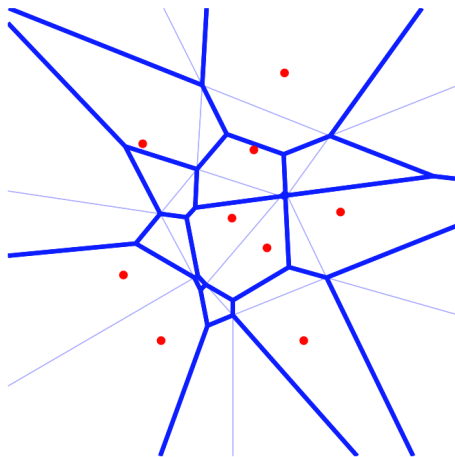
1 Algorithmes incrémentaux randomisés

2 Algorithmes en-ligne

3 Analyse combinatoire

Diagrammes de Voronoï d'ordre k

\mathcal{P} un ensemble fini de points de \mathbb{R}^d (sites)



Chaque cellule de $\text{Vor}_k(\mathcal{P})$ est l'ensemble des points de \mathbb{R}^d qui ont les mêmes k plus proches sites

Complexité combinatoire des diagrammes de Voronoï d'ordre k

Théorème

Le nombre de faces de **tous** les diagrammes de Voronoï $\text{Vor}_j(P)$ d'ordres $j \leq k$ est

$$O\left(k^{\lceil \frac{d+1}{2} \rceil} n^{\lfloor \frac{d+1}{2} \rfloor}\right)$$

Démonstration

- ▶ Utiliser le relèvement dans \mathbb{R}^{d+1} (linéarisation)
- ▶ Énumérer les sommets de niveaux au plus k dans un arrangement d'hyperplans de \mathbb{R}^{d+1} avec un argument probabiliste
- ▶ Vérifier que la borne s'applique aux faces de toutes dimensions (pour d fixé)

Complexité combinatoire des diagrammes de Voronoï d'ordre k

Théorème

Le nombre de faces de **tous** les diagrammes de Voronoï $\text{Vor}_j(P)$ d'ordres $j \leq k$ est

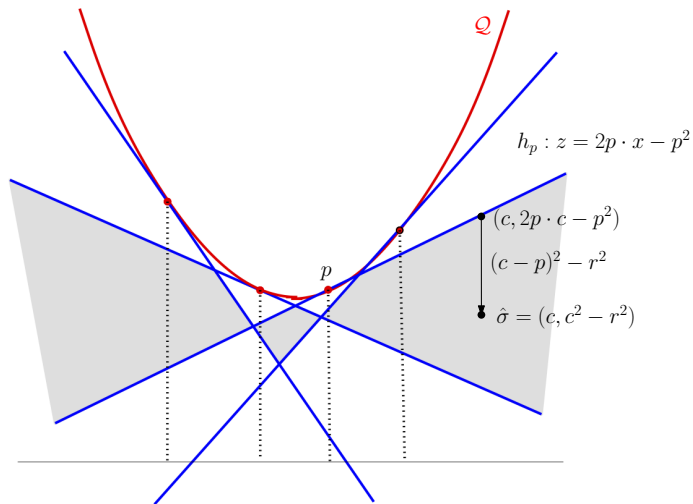
$$O\left(k^{\lceil \frac{d+1}{2} \rceil} n^{\lfloor \frac{d+1}{2} \rfloor}\right)$$

Démonstration

- ▶ Utiliser le relèvement dans \mathbb{R}^{d+1} (linéarisation)
- ▶ Énumérer les sommets de niveaux au plus k dans un arrangement d'hyperplans de \mathbb{R}^{d+1} avec un argument probabiliste
- ▶ Vérifier que la borne s'applique aux faces de toutes dimensions (pour d fixé)

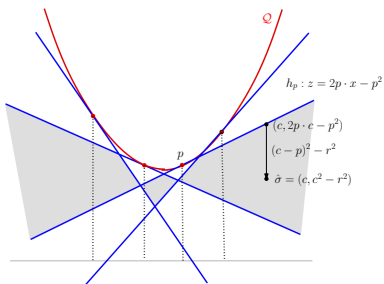
Diagramme de Voronoï d'ordre k et k -niveaux

Linéarisation dans l'espace des sphères



$$c \in \text{Vor}_2(p, q) \Leftrightarrow \exists \sigma(c, r) : \hat{\sigma} \in h_p^- \cap h_q^-$$

k -niveaux dans un arrangement d'hyperplans



- \mathcal{H} = arrangement des h_p , $p \in \mathcal{P}$
- Les cellules de $\text{Vor}_k(\mathcal{P})$ sont en bijection avec les cellules de \mathcal{H} de niveau k , i.e. avec k hyperplans h_p , $p \in \mathcal{P}$, au dessus
- Le niveau d'un sommet d'une telle cellule de \mathcal{H} varie de k à $\max(0, k - d)$
- En position générale, chaque sommet est incident à d hyperplans

Le théorème de l'échantillon

\mathcal{O} un ensemble de n objets.

$\mathcal{F}(\mathcal{O})$ ensemble des configurations définies par b objets

$\mathcal{F}_j(\mathcal{O})$ ensemble des configurations définies sur \mathcal{O} et en conflit avec j objets

$\mathcal{F}_{\leq k}(\mathcal{O})$ ensemble des configurations définies sur \mathcal{O} en conflit avec $\leq k$ objets de \mathcal{O}

$\mathcal{R}(r)$ a random sample of \mathcal{O} of size r

Théorème de l'échantillon [Clarkson & Shor 1992]

Pour $2 \leq k \leq \frac{n}{b+1}$, $|\mathcal{F}_{\leq k}(\mathcal{O})| \leq 4 (b+1)^b k^b E(|\mathcal{F}_0(\mathcal{R}(\lfloor \frac{n}{k} \rfloor))|)$

espérance prise sur tous les échantillons $\mathcal{R} \subset \mathcal{O}$ de taille $\lfloor \frac{n}{k} \rfloor$

Le théorème de l'échantillon

\mathcal{O} un ensemble de n objets.

$\mathcal{F}(\mathcal{O})$ ensemble des configurations définies par b objets

$\mathcal{F}_j(\mathcal{O})$ ensemble des configurations définies sur \mathcal{O} et en conflit avec j objets

$\mathcal{F}_{\leq k}(\mathcal{O})$ ensemble des configurations définies sur \mathcal{O} en conflit avec $\leq k$ objets de \mathcal{O}

$\mathcal{R}(r)$ a random sample of \mathcal{O} of size r

Théorème de l'échantillon [Clarkson & Shor 1992]

Pour $2 \leq k \leq \frac{n}{b+1}$, $|\mathcal{F}_{\leq k}(\mathcal{O})| \leq 4 (b+1)^b k^b \mathbf{E}(|\mathcal{F}_0(\mathcal{R}(\lfloor \frac{n}{k} \rfloor))|)$

espérance prise sur tous les échantillons $\mathcal{R} \subset \mathcal{O}$ de taille $\lfloor \frac{n}{k} \rfloor$

Démonstration du théorème de l'échantillon

$$\mathbb{E}(|\mathcal{F}_0(\mathcal{R}(r))|) = \sum_j |\mathcal{F}_j(\mathcal{O})| \frac{\binom{n-b-j}{r-b}}{\binom{n}{r}} \geq |\mathcal{F}_{\leq k}(\mathcal{O})| \frac{\binom{n-b-k}{r-b}}{\binom{n}{r}}$$

un calcul permet de montrer que pour $r = \frac{n}{k}$

$$\frac{\binom{n-b-k}{r-b}}{\binom{n}{r}} \geq \frac{1}{4(b+1)^b k^b}$$

□

Borne sur le nombre de sommets des niveaux $\leq k$

Théorème Le nombre de faces des niveaux $\leq k$ d'un arrangement de n hyperplans de \mathbb{R}^d est $O(k^{\lceil \frac{d}{2} \rceil} n^{\lfloor \frac{d}{2} \rfloor})$

Démonstration

\mathcal{O} l'ensemble des hyperplans

\mathcal{R} un échantillon aléatoire de \mathcal{H}

$\mathcal{F}_{\leq k}(\mathcal{O})$: l'ensemble des sommets de $\mathcal{H}(L)$ de niveaux $\leq k$, $k > 1$

Par le théorème de l'échantillon aléatoire et le théorème de la borne supérieure

$$|\mathcal{F}_{\leq k}(\mathcal{O})| \leq 4(d+1)^d k^d O\left(\left\lfloor \frac{n}{k} \right\rfloor^{\lfloor \frac{d}{2} \rfloor}\right)$$

Si les hyperplans sont en position générale (cas le pire), la borne vaut pour les faces de toutes dimensions

Corollaire 1

Diagrammes de Voronoï d'ordres $\leq k$

Complexité combinatoire

Le nombre total de faces de **tous** les diagrammes de Voronoï d'ordres $\leq k$ de n points de \mathbb{R}^d est

$$O\left(k^{\lceil \frac{d+1}{2} \rceil} n^{\lfloor \frac{d+1}{2} \rfloor}\right)$$

Construction

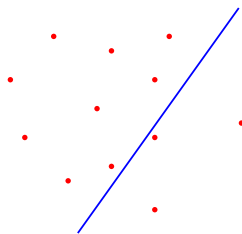
C'est aussi le temps requis pour calculer ces diagrammes si $d \geq 3$.

Pour $d = 2$, le temps est $O(nk^2 \log \frac{n}{k})$

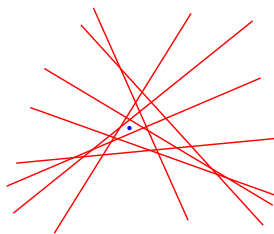
Corollaire 2

k -ensembles

Primal



Dual



Etant donné un ensemble \mathcal{P} de n points de \mathbb{R}^d , un k -ensemble est un sous-ensemble de \mathcal{P} de taille k qui peut être séparé des autres points de \mathcal{P} par un hyperplan

Le nombre total de $\leq k$ -ensembles de \mathcal{P} est

$$O\left(k^{\lceil \frac{d}{2} \rceil} n^{\lfloor \frac{d}{2} \rfloor}\right)$$

D'autres algorithmes randomisés dans la suite du cours

- La méthode probabiliste et le lemme local de Lovasz
- Projections aléatoires
- La recherche de plus proches voisins en grandes dimensions